



Резонансные состояния в нанооптике

Лекция 2



- Введение
- **Оптические матрицы переноса и рассеяния для решения уравнений Максвелла в слоистых диэлектрических структурах. Падение света по нормали**
- **Брэгговские зеркало и микрорезонатор, экситонный плазмон-поляритон в брэгговском микрорезонаторе с квантовой ямой в активной области. Полюсное разложение для матрицы рассеяния брэгговского микрорезонатора**
- Оптические матрицы переноса и рассеяния для решения уравнений Максвелла в слоистых диэлектрических структурах. Наклонное падение света
- Угловая дисперсия резонансных мод микрорезонатора. Нижняя и верхняя поляритонные ветви
- Поверхностный плазмон-поляритон. Резонансы Ми
- Планарные диэлектрические волноводы
- Диэлектрические фотонные кристаллы, фотонные запрещенные зоны
- Фотонно-кристаллические слои, метаматериалы и метаповерхности
- Поляритонные кристаллы на примере плазмон-волноводного резонанса в структуре решетка металлических нанонитей на планарном диэлектрическом волноводе
- Метод Фурье-разложения по плоским волнам для решения уравнений Максвелла в структурах, содержащих фотонно-кристаллические слои. Оптические матрицы переноса и рассеяния для фотонно-кристаллических слоев и метаповерхностей
- Метаматериалы для создания сред Веселаго. Метаматериалы и метаповерхности. Трансформационная оптика
- Фотонно-кристаллические и плазмонные структуры для микрорезонаторов, световодов, нанолитографии
- Плазмонные наноантенны для оптического диапазона
- Эффективный электромагнитный отклик тонких слоев метаматериалов
- Поляризационные фильтры и компактные источники циркулярно-поляризованного света на основе хиральных фотонно-кристаллических слоев и метаповерхностей
- Оптические нелинейности на примере экситон-поляритона в брэгговском микрорезонаторе с квантовой ямой в активной области

План лекции

1. Уравнения Максвелла
2. Матрицы переноса для описания прохождения и отражения света от слоистой диэлектрической структуры
3. Пример 1. Диэлектрическое брэгговское зеркало
4. Пример 2. Брэгговский микрорезонатор
5. Пример 3. Брэгговский микрорезонатор и квантовой ямой в активной области
6. Матрица переноса для квантовых гетероструктур
7. Матрица рассеяния
8. Общие свойства матрицы рассеяния систем без потерь: унитарность и взаимность.
9. Резонансное приближение для матрицы рассеяния
10. Резонансы Фано в простейшем случае прозрачной системы минимальной размерности

Уравнения Максвелла для слоя, однородного по z :

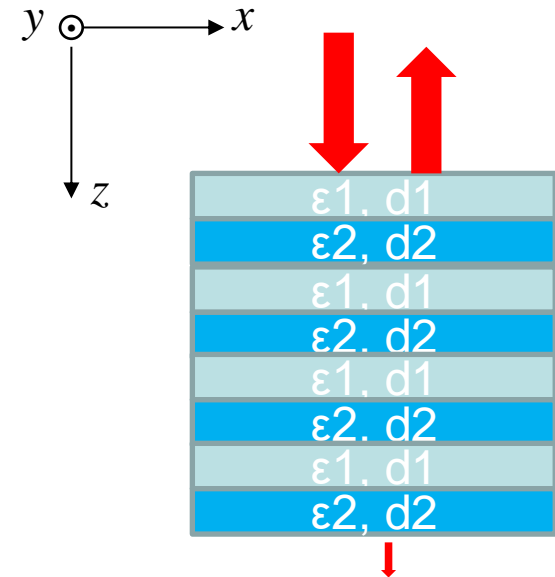
$$-\frac{1}{c} \frac{\partial \mathbf{H}}{\partial t} = \nabla \times \mathbf{E} \quad \frac{1}{c} \frac{\partial \mathbf{D}}{\partial t} = \nabla \times \mathbf{H}$$

$$-\Delta \mathbf{E} + \text{grad div } \mathbf{E} = \frac{\omega^2}{c^2} \mathbf{D}$$

$$-\left(\frac{\partial^2}{\partial y^2} + \frac{\partial^2}{\partial z^2} \right) E_x + \frac{\partial^2 E_y}{\partial x \partial y} + \frac{\partial^2 E_z}{\partial x \partial z} = \frac{\omega^2}{c^2} D_x,$$

$$\frac{\partial^2 E_x}{\partial y \partial x} - \left(\frac{\partial^2}{\partial z^2} + \frac{\partial^2}{\partial x^2} \right) E_y + \frac{\partial^2 E_z}{\partial y \partial z} = \frac{\omega^2}{c^2} D_y,$$

$$\frac{\partial^2 E_x}{\partial z \partial x} + \frac{\partial^2 E_y}{\partial z \partial y} - \left(\frac{\partial^2}{\partial x^2} + \frac{\partial^2}{\partial y^2} \right) E_z = \frac{\omega^2}{c^2} D_z.$$



План лекции

1. Уравнения Максвелла
2. Матрицы переноса для описания прохождения и отражения света от слоистой диэлектрической структуры
3. Пример 1. Диэлектрическое брэгговское зеркало
4. Пример 2. Брэгговский микрорезонатор
5. Пример 3. Брэгговский микрорезонатор и квантовой ямой в активной области
6. Матрица переноса для квантовых гетероструктур
7. Матрица рассеяния
8. Резонансное приближение для матрицы рассеяния
9. Общие свойства матрицы рассеяния систем без потерь: унитарность и взаимность.
10. Резонансы Фано в простейшем случае прозрачной системы минимальной размерности

Брэгговское диэлектрическое зеркало

Рассмотрим так называемое брэгговское зеркало, состоящее из некоторого количества повторяющихся пар диэлектрических слоев толщин d_1 и d_2 (специально выбранных, см. ниже), с диэлектрическими проницаемостями ε_1 и ε_2 , соответственно. Проиллюстрируем метод матриц переноса для такой структуры сначала для **нормального** падения на нее плоской электромагнитной волны.

Плоская линейно-поляризованная волна является общим видом решения уравнений Максвелла в однородной среде с диэл.

проницаемостью ε : $\mathbf{E} = (E_x, 0, 0) \exp(-i\omega t + ikz)$

$$\mathbf{H} = (0, H_y, 0) \exp(-i\omega t + ikz)$$

Тогда решение для k^2

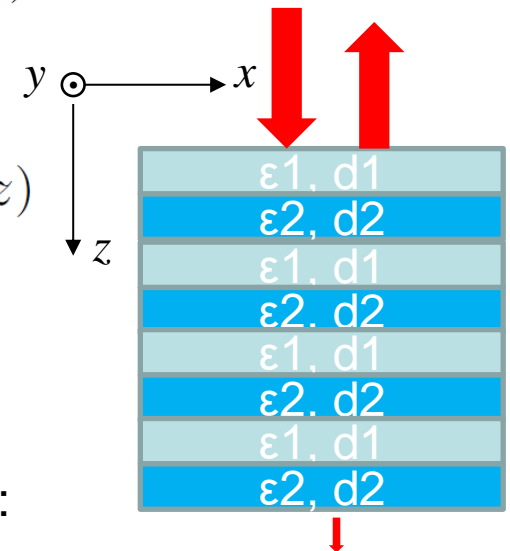
$$k^2 = k_0^2 \varepsilon \qquad k_0 = \frac{\omega}{c}$$

Показатель преломления равен:

$$n = \sqrt{\varepsilon}$$

Есть 2 решения k :

$$k = \pm nk_0$$



При падении на брэгговское зеркало по нормали к нему плоской линейно-поляризованной электромагнитной волны решение в каждом слое будет иметь вид:

$$E_x = A^+ \exp(-i\omega t + ikz) + A^- \exp(-i\omega t - ikz)$$

$$H_y = nA^+ \exp(-i\omega t + ikz) - nA^- \exp(-i\omega t - ikz)$$

Для построения решения уравнений Максвелла для многослойной структуры методом матрицы переноса, определим вектор амплитуд линейно-независимых решений

$$A = \begin{pmatrix} A^+ \\ A^- \end{pmatrix}$$

и убедимся, что матрица

$$T_d = \begin{pmatrix} \exp(ikd) & 0 \\ 0 & \exp(-ikd) \end{pmatrix}$$

обладает свойством $A(z+d) = T_d A(z)$,

т.е. является **матрицей переноса** через однородный слой толщины d .

Чтобы найти матрицу переноса через интерфейс между двумя разными слоями (**интерфейсную матрицу**), заметим, что приведенные выше решения уравнений Максвелла в каждом слое могут быть записаны как

$$\begin{pmatrix} E_x \\ H_y \end{pmatrix} = \begin{pmatrix} 1 & 1 \\ n & -n \end{pmatrix} \begin{pmatrix} A^+ \\ A^- \end{pmatrix} \equiv F \begin{pmatrix} A^+ \\ A^- \end{pmatrix}$$

где матрица F называется “**материальной**”. Обратное матричное соотношение имеет вид

$$\begin{pmatrix} A^+ \\ A^- \end{pmatrix} = F^{-1} \begin{pmatrix} E_x \\ H_y \end{pmatrix}, \quad F^{-1} = \frac{1}{2} \begin{pmatrix} 1 & \frac{1}{n} \\ 1 & -\frac{1}{n} \end{pmatrix}$$

Поэтому для планарного интерфейса можно написать, что

$$\begin{pmatrix} A_2^+ \\ A_2^- \end{pmatrix} = F_2^{-1} \begin{pmatrix} E_{x,2} \\ H_{y,2} \end{pmatrix} = F_2^{-1} \begin{pmatrix} E_{x,1} \\ H_{y,1} \end{pmatrix} = F_2^{-1} F_1 \begin{pmatrix} A_1^+ \\ A_1^- \end{pmatrix}$$

Красными линиями обведено условие непрерывности тангенциальных компонент электрического и магнитного полей (**Максвелловские граничные условия**)

Таким образом, **интерфейсная матрица** имеет вид

$$T_{21} = F_2^{-1} F_1 = \frac{1}{2} \begin{pmatrix} 1 + M & 1 - M \\ 1 - M & 1 + M \end{pmatrix}$$

$$M = \frac{n_1}{n_2}$$

Полная матрица переноса через всю систему (от верхнего края верхней до нижнего края нижней полубесконечной среды):

$$A_f = T_{\text{tot}} A_i$$

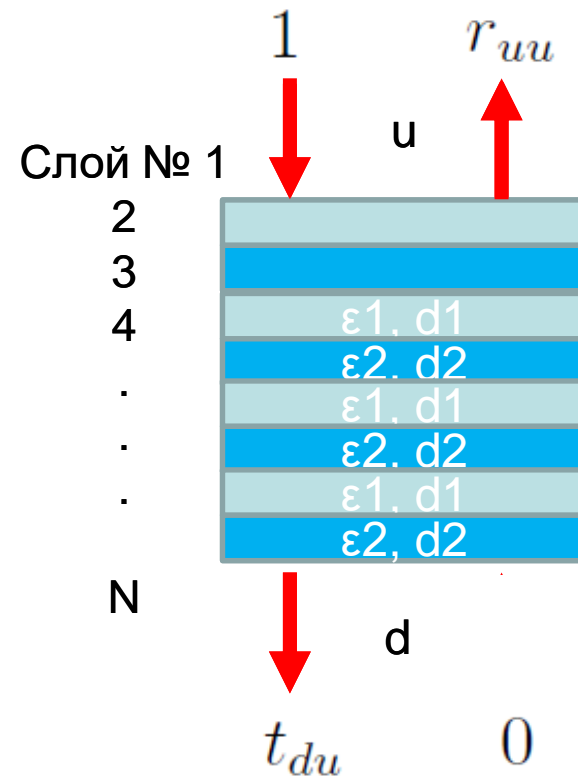
$$T_{\text{tot}} = \dots T_{32} T_{d2} T_{21}$$

Слой № 1

2	
3	
4	ε1, d1
	ε2, d2
·	ε1, d1
·	ε2, d2
·	ε1, d1
	ε2, d2

N

$$T_{\text{tot}} = \begin{pmatrix} T_{11} & T_{12} \\ T_{21} & T_{22} \end{pmatrix}$$



$$\begin{pmatrix} t_{du} \\ 0 \end{pmatrix} = T_{\text{tot}} \begin{pmatrix} 1 \\ r_{uu} \end{pmatrix} = \begin{pmatrix} T_{11} & T_{12} \\ T_{21} & T_{22} \end{pmatrix} \begin{pmatrix} 1 \\ r_{uu} \end{pmatrix} = \begin{pmatrix} T_{11} + T_{12}r_{uu} \\ T_{21} + T_{22}r_{uu} \end{pmatrix}$$

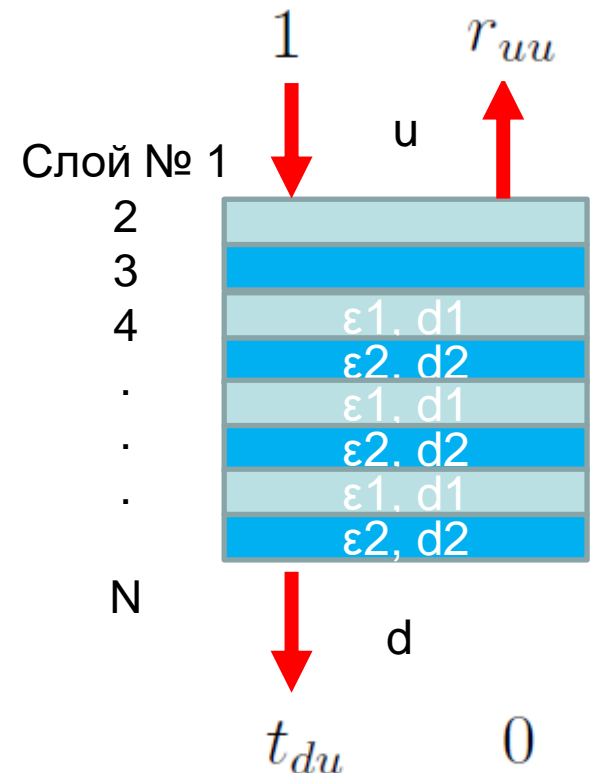
$$\begin{pmatrix} t_{du} \\ 0 \end{pmatrix} = T_{\text{tot}} \begin{pmatrix} 1 \\ r_{uu} \end{pmatrix} = \begin{pmatrix} T_{11} & T_{12} \\ T_{21} & T_{22} \end{pmatrix} \begin{pmatrix} 1 \\ r_{uu} \end{pmatrix} = \begin{pmatrix} T_{11} + T_{12}r_{uu} \\ T_{21} + T_{22}r_{uu} \end{pmatrix}$$

$$0 = T_{21} + T_{22}r_{uu}$$

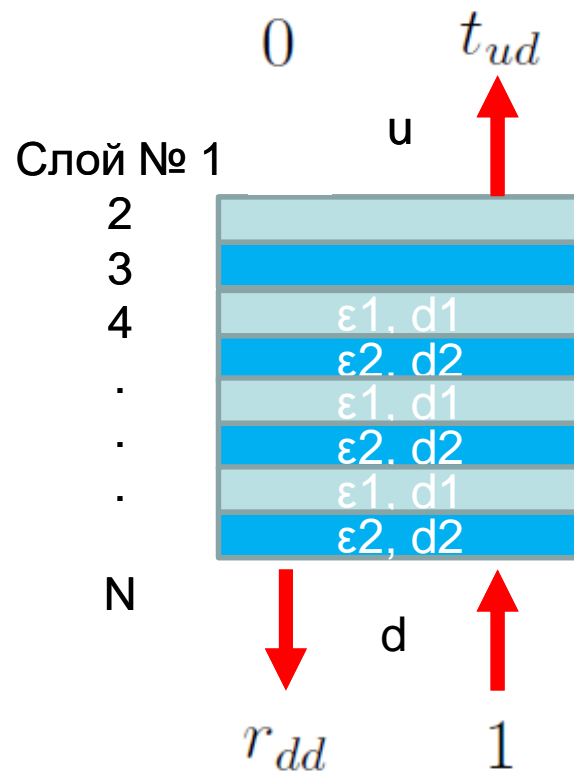
$$\boxed{r_{uu} = -\frac{T_{21}}{T_{22}}}$$

$$t_{du} = T_{11} + T_{12}r_{uu} = T_{11} - T_{12}\frac{T_{21}}{T_{22}}$$

$$\boxed{t_{du} = \frac{\det T_{\text{tot}}}{T_{22}}}$$



$$T_{\text{tot}} = \begin{pmatrix} T_{11} & T_{12} \\ T_{21} & T_{22} \end{pmatrix}$$



$$\begin{pmatrix} r_{dd} \\ 1 \end{pmatrix} = T_{\text{tot}} \begin{pmatrix} 0 \\ t_{ud} \end{pmatrix} = \begin{pmatrix} T_{11} & T_{12} \\ T_{21} & T_{22} \end{pmatrix} \begin{pmatrix} 0 \\ t_{ud} \end{pmatrix} = \begin{pmatrix} T_{12}t_{ud} \\ T_{22}t_{ud} \end{pmatrix}$$

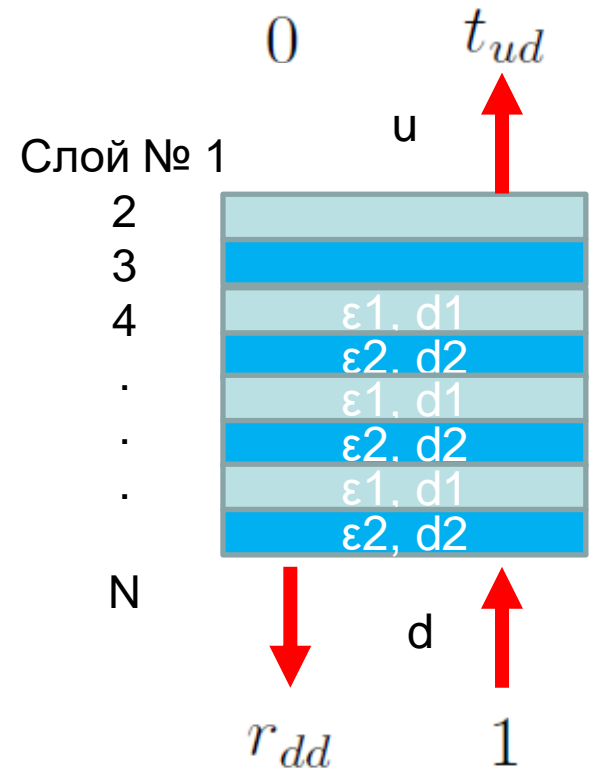
$$\begin{pmatrix} r_{dd} \\ 1 \end{pmatrix} = T_{\text{tot}} \begin{pmatrix} 0 \\ t_{ud} \end{pmatrix} = \begin{pmatrix} T_{11} & T_{12} \\ T_{21} & T_{22} \end{pmatrix} \begin{pmatrix} 0 \\ t_{ud} \end{pmatrix} = \begin{pmatrix} T_{12}t_{ud} \\ T_{22}t_{ud} \end{pmatrix}$$

$$1 = T_{22}t_{ud}$$

$$t_{ud} = \frac{1}{T_{22}}$$

$$r_{dd} = T_{12}t_{ud} = T_{12}\frac{1}{T_{22}}$$

$$r_{dd} = \frac{T_{12}}{T_{22}}$$



$$r_{uu} = -\frac{T_{21}}{T_{22}}$$

$$t_{du} = \frac{\det T_{\text{tot}}}{T_{22}}$$

$$t_{ud} = \frac{1}{T_{22}}$$

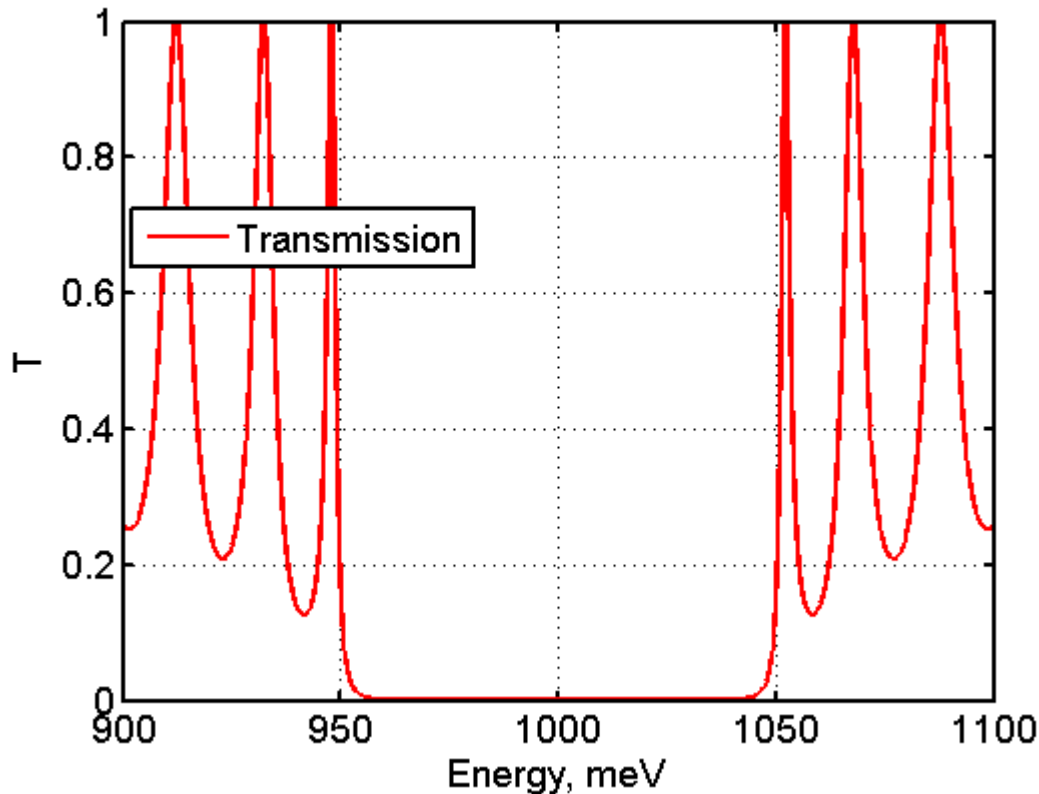
$$r_{dd} = \frac{T_{12}}{T_{22}}$$

План лекции

1. Уравнения Максвелла
2. Матрицы переноса для описания прохождения и отражения света от слоистой диэлектрической структуры
- 3. Пример 1. Диэлектрическое брэгговское зеркало**
4. Пример 2. Брэгговский микрорезонатор
5. Пример 3. Брэгговский микрорезонатор и квантовой ямой в активной области
6. Матрица переноса для квантовых гетероструктур
7. Матрица рассеяния
8. Резонансное приближение для матрицы рассеяния
9. Общие свойства матрицы рассеяния систем без потерь: унитарность и взаимность.
10. Резонансы Фано в простейшем случае прозрачной системы минимальной размерности

Пример 1. Слой 1D фотонного кристалла с периодом из двух слоев материалов с разными диэлектрическими проницаемостями толщины $\lambda/4$ (**Брэгговское зеркало**).

Параметры (см. схему справа) $\epsilon_1 = 9$, $\epsilon_2 = 12$, $d_1 = \lambda_0/(4n_1)$, $d_2 = \lambda_0/(4n_2)$, энергия центра стоп-зоны взята равной $\hbar\omega = E = 1$ eV, что соответствует длине волны света в вакууме $\lambda_0 = 2\pi/k_0 = 1.24\mu\text{m}$. Спектр пропускания рассчитан для 40 брэгговских пар



ϵ_1, d_1
ϵ_2, d_2
ϵ_1, d_1
ϵ_2, d_2
ϵ_1, d_1
ϵ_2, d_2
ϵ_1, d_1
ϵ_2, d_2

План лекции

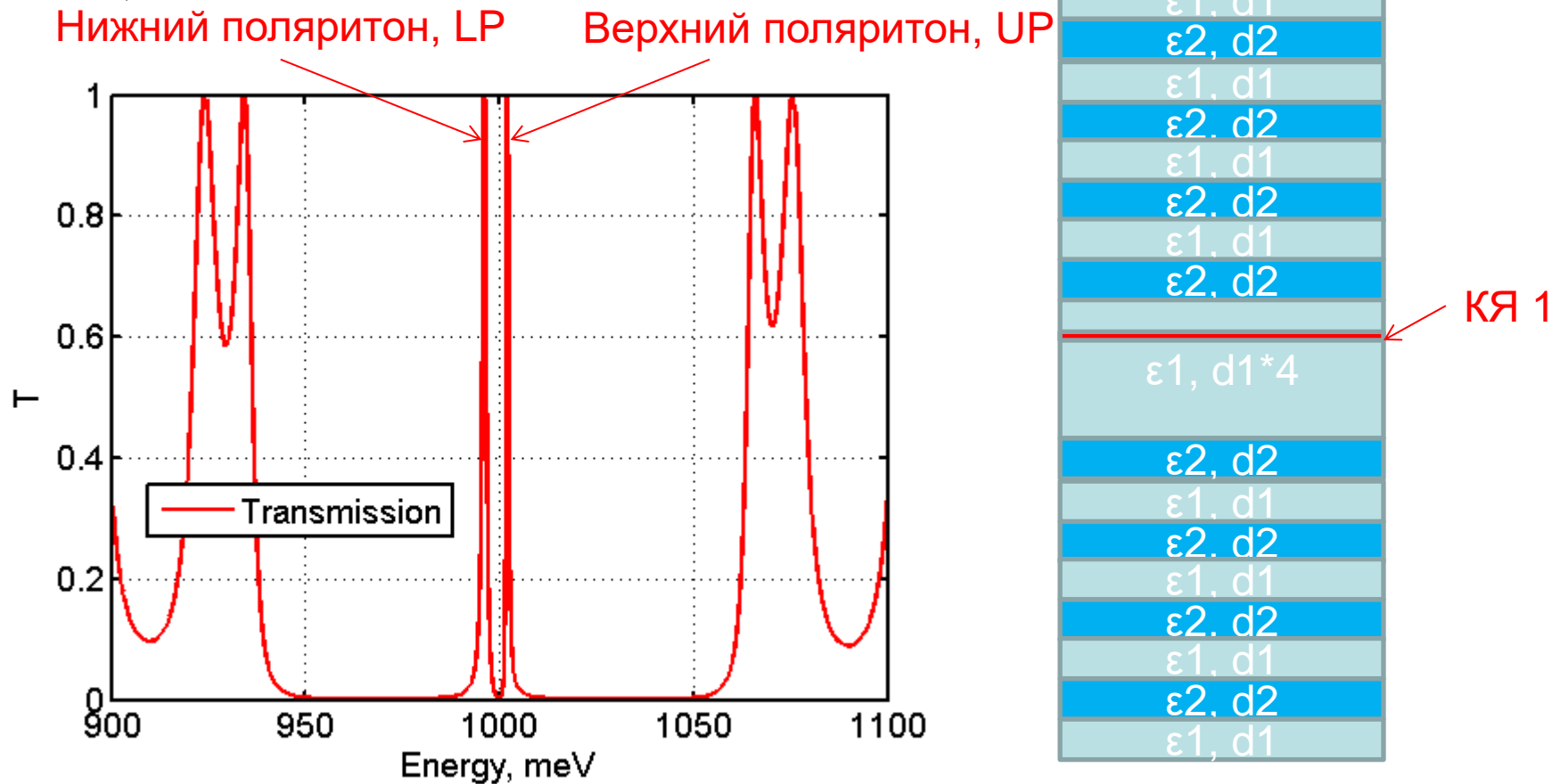
1. Уравнения Максвелла
2. Матрицы переноса для описания прохождения и отражения света от слоистой диэлектрической структуры
3. Пример 1. Диэлектрическое брэгговское зеркало
- 4. Пример 2. Брэгговский микрорезонатор**
5. Пример 3. Брэгговский микрорезонатор и квантовой ямой в активной области
6. Матрица переноса для квантовых гетероструктур
7. Матрица рассеяния
8. Резонансное приближение для матрицы рассеяния
9. Общие свойства матрицы рассеяния систем без потерь: унитарность и взаимность.
10. Резонансы Фано в простейшем случае прозрачной системы минимальной размерности

План лекции

1. Уравнения Максвелла
2. Матрицы переноса для описания прохождения и отражения света от слоистой диэлектрической структуры
3. Пример 1. Диэлектрическое брэгговское зеркало
4. Пример 2. Брэгговский микрорезонатор
5. **Пример 3. Брэгговский микрорезонатор с квантовой ямой в активной области**
6. Матрица переноса для квантовых гетероструктур
7. Матрица рассеяния
8. Резонансное приближение для матрицы рассеяния
9. Общие свойства матрицы рассеяния систем без потерь: унитарность и взаимность.
10. Резонансы Фано в простейшем случае прозрачной системы минимальной размерности

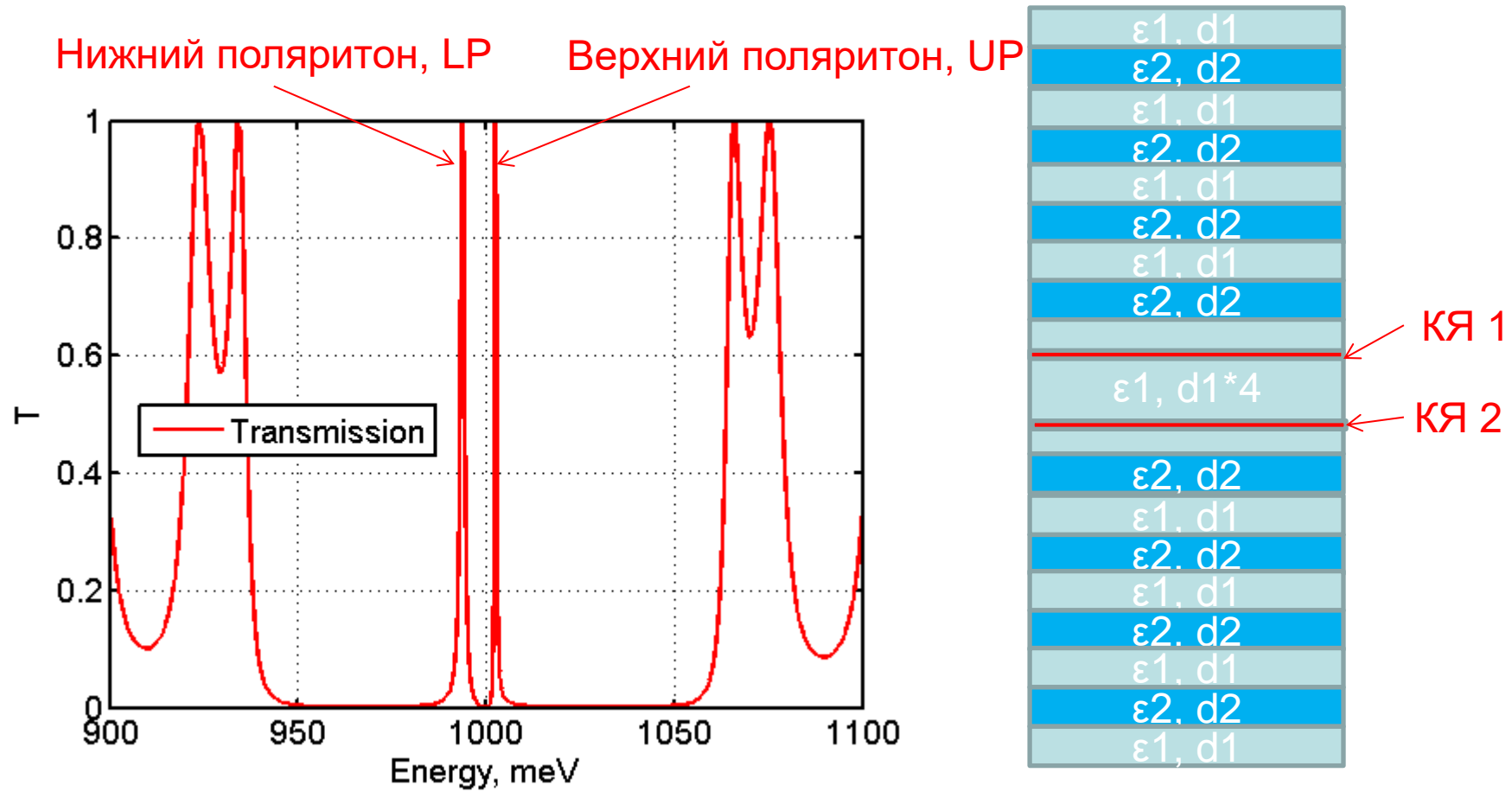
Пример 3а. Брэгговский микрорезонатор с одной квантовой ямой (КЯ 1).

КЯ расположена на $\frac{1}{4}$ толщины λ -слоя, в данном случае с меньшей диэлектрической проницаемостью; в каждом из зеркал по 20 брэгговских пар. Диэлектрическая проницаемость квантовой ямы имеет экситонный резонанс,



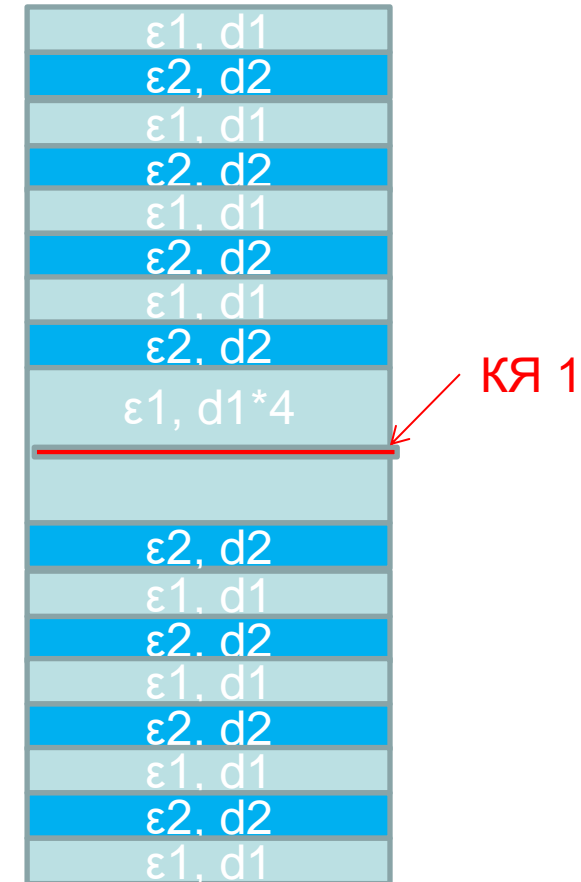
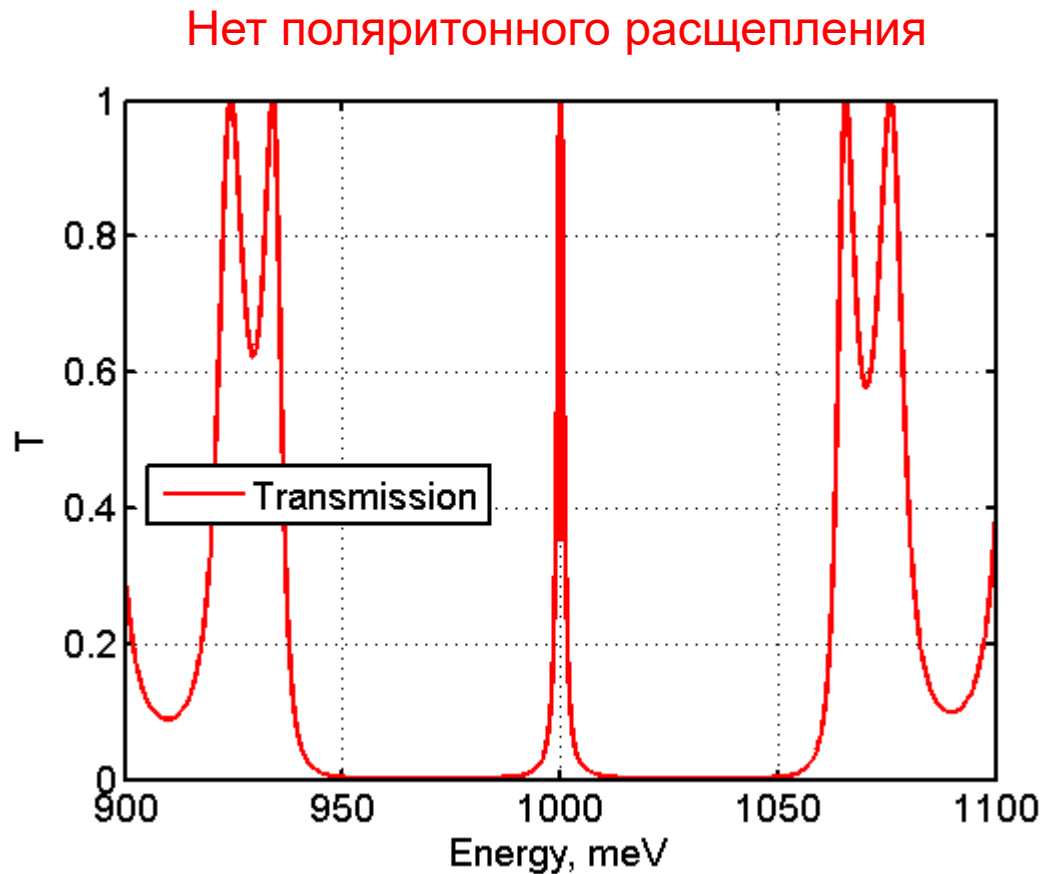
$\varepsilon(E) = \varepsilon_0 [1 + 2E_0 \Delta / (E_0^2 - E^2 - iE\Gamma)]$, $E = \hbar\omega$ - частота света, E_0 - экситонный резонанс, Δ - экситонное продольно-поперечное расщепление, Γ - ширина экситонного резонанса. Расчеты проведены с $[\varepsilon_0, E_0, \Delta, \Gamma] = [12, 1 \text{ eV}, 1 \text{ meV}, 0 \text{ meV}]$. Толщина КЯ 10 нм

Пример 3б. Брэгговский микрорезонатор с двумя квантовыми ямами (КЯ 1 и КЯ 2). КЯ 2 расположена на $\frac{3}{4}$ толщины λ -слоя, в данном случае с большей диэлектрической проницаемостью; в каждом из зеркал по 20 брэгговских пар.



Обратите внимание на увеличение расщепления между верхним и нижним поляритоном. Задача 20.1*: во сколько раз увеличивается это расщепление?

Пример 3в. Брэгговский микрорезонатор с одной квантовой ямой (КЯ 1)
в середине λ -слоя.



Обратите внимание: поляритонное расщепление отсутствует! Это означает, что в данном случае посередине λ -слоя – узел электрического поля.

Задачи

2.22.1. Брэгговское зеркало. Рассчитать спектры отражения и пропускания брэгговского зеркала, состоящего из N пар $\lambda/4$ слоев GaAs/AlAs. Пусть диэлектрическая проницаемость GaAs (AlAs) равна 12 (9), а центральная частота стоп-зоны соответствует энергии фотона 1 эВ. Как велико должно быть число брэгговских пар N , чтобы коэффициент отражения в центре стоп-зоны превосходил $R=0.9999$?

2.22.2. Брэгговский микрорезонатор. Рассчитать спектры отражения и пропускания брэгговского микрорезонатора, состоящего из двух зеркал с N парами $\lambda/4$ слоев GaAs/AlAs и резонаторного GaAs или AlAs λ -слоя. Пусть резонансная частота соответствует энергии фотона 1 эВ. Как велико должно быть число брэгговских пар N , чтобы добротность микрорезонатора была $Q=10000$?

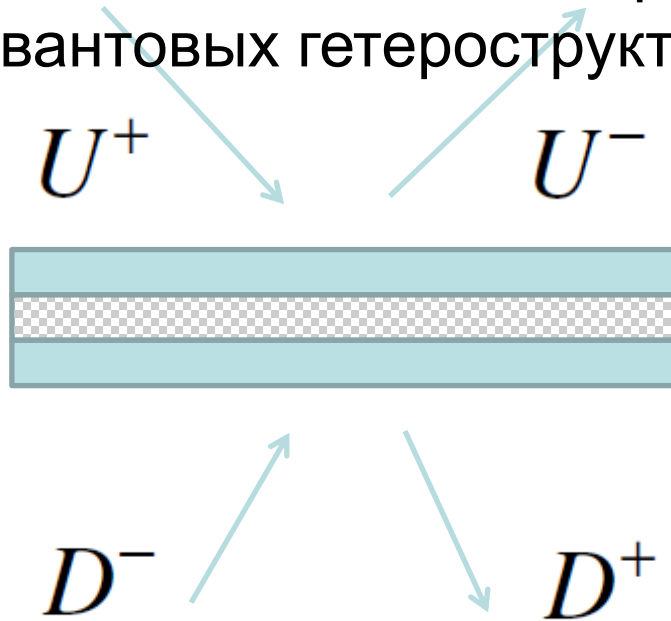
2.22.3. Брэгговский микрорезонатор с экситон-поляритоном. Рассчитать спектры отражения и пропускания брэгговского микрорезонатора, состоящего из двух зеркал с N парами $\lambda/4$ слоев GaAs/AlAs, резонаторного GaAs λ -слоя с 10-nm квантовой ямой InGaAs посередине λ -слоя. Диэлектрическая проницаемость квантовой ямы имеет экситонный резонанс, $\epsilon(E)=\epsilon_0[1+2E_0\Delta/(E_0^2-E^2-iE\Gamma)]$, $E=\hbar\omega$ - частота света, E_0 - экситонный резонанс, Δ - экситонное продольно-поперечное расщепление, Γ – ширина экситонного резонанса. Расчеты провести, например, с $[\epsilon_0, E_0, \Delta, \Gamma]=[12, 1 \text{ eV}, 1 \text{ meV}, 0]$ и $[12, 1 \text{ eV}, 1 \text{ meV}, 0.1 \text{ meV}]$ и сравнить то, что получилось.

2.22.4. Брэгговский микрорезонатор с экситон-поляритоном. Рассчитать спектры отражения и пропускания брэгговского микрорезонатора, состоящего из двух зеркал с N парами $\lambda/4$ слоев GaAs/AlAs, резонаторного AlAs λ -слоя с 10-nm квантовой ямой GaAs посередине λ -слоя. Куда нужно поместить квантовую яму для того, чтобы получить ненулевое экситон-поляритонное расщепление? Как усилить это расщепление?

План лекции

1. Уравнения Максвелла
2. Матрицы переноса для описания прохождения и отражения света от слоистой диэлектрической структуры
3. Пример 1. Диэлектрическое брэгговское зеркало
4. Пример 2. Брэгговский микрорезонатор
5. Пример 3. Брэгговский микрорезонатор с квантовой ямой в активной области
- 6. Матрица переноса для квантовых гетероструктур**
7. Матрица рассеяния
8. Резонансное приближение для матрицы рассеяния
9. Общие свойства матрицы рассеяния систем без потерь: унитарность и взаимность.
10. Резонансы Фано в простейшем случае прозрачной системы минимальной размерности

Матричные методы применимы к решению всех слоистых линейных проблем, например, в теории квантовых гетероструктур



В этом случае вместо уравнений Максвелла надо решать уравнение Шредингера

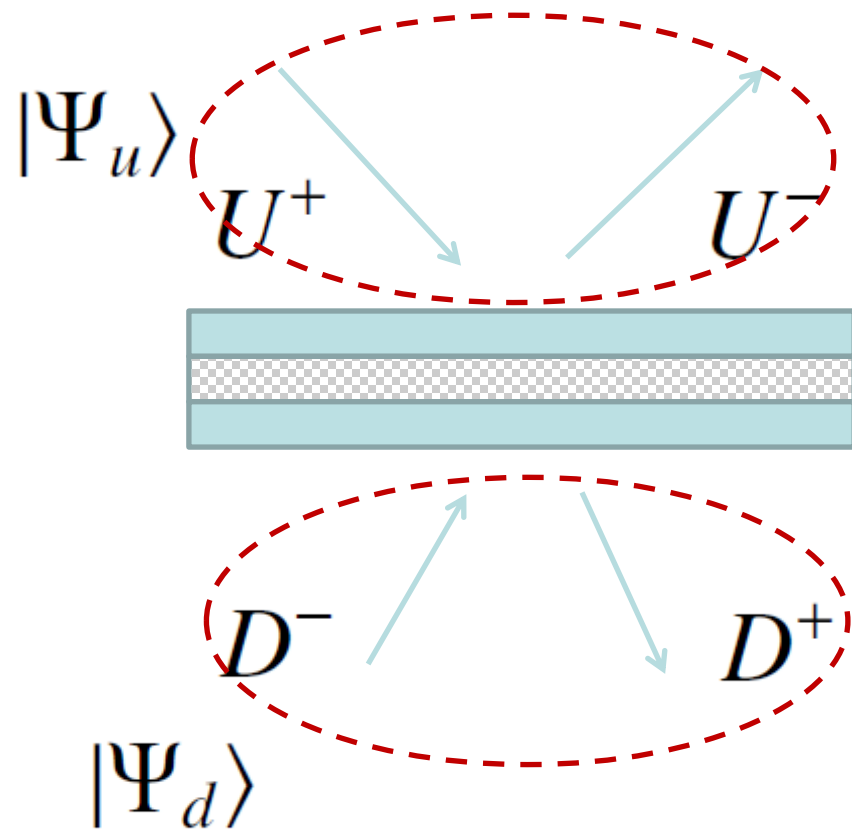
$$\hat{H}\Psi(\mathbf{r}_{\parallel}, z) = \hbar\omega\Psi(\mathbf{r}_{\parallel}, z)$$

$$\hat{H} = \frac{\hbar^2}{2m} (-i\vec{\nabla})^2 + V$$

$$\Psi_u(\mathbf{r}_{\parallel}, z) = U^+ \exp(ik_u z + i\mathbf{k}_{\parallel} \mathbf{r}_{\parallel}) + U^- \exp(-ik_u z + i\mathbf{k}_{\parallel} \mathbf{r}_{\parallel})$$

$$\Psi_d(\mathbf{r}_{\parallel}, z) = D^+ \exp(ik_d z + i\mathbf{k}_{\parallel} \mathbf{r}_{\parallel}) + D^- \exp(-ik_d z + i\mathbf{k}_{\parallel} \mathbf{r}_{\parallel})$$

$$k_{u,d} = k_{u,d}(\omega, \mathbf{k}_{\parallel})$$



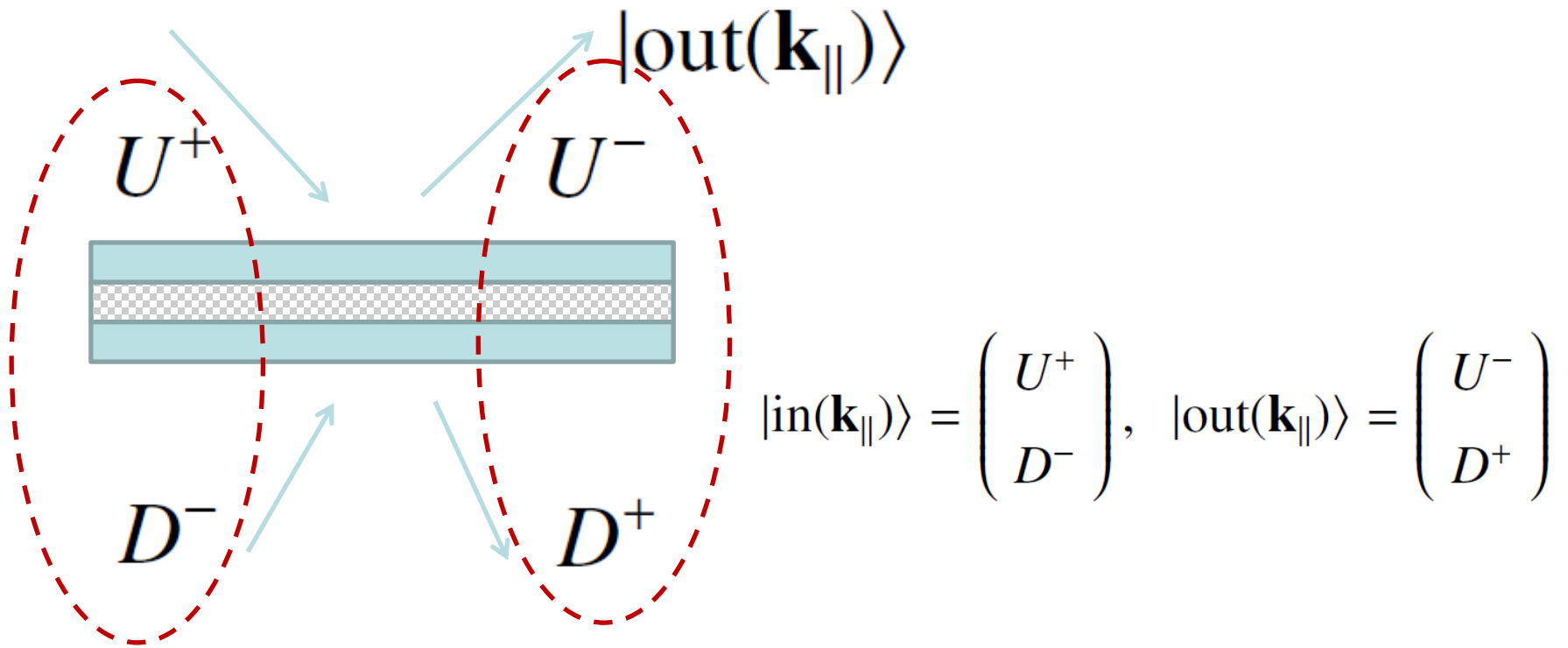
$$|\Psi_u\rangle = \begin{pmatrix} U^+ \\ U^- \end{pmatrix}, \quad |\Psi_d\rangle = \begin{pmatrix} D^+ \\ D^- \end{pmatrix}$$

$$|\Psi_d\rangle = T(\omega, \mathbf{k}_{\parallel})|\Psi_u\rangle$$

$T(\omega, \mathbf{k}_{\parallel})$ - **Матрица переноса**

План лекции

1. Уравнения Максвелла
2. Матрицы переноса для описания прохождения и отражения света от слоистой диэлектрической структуры
3. Пример 1. Диэлектрическое брэгговское зеркало
4. Пример 2. Брэгговский микрорезонатор
5. Пример 3. Брэгговский микрорезонатор с квантовой ямой в активной области
6. Матрица переноса для квантовых гетероструктур
- 7. Матрица рассеяния**
8. Резонансное приближение для матрицы рассеяния
9. Общие свойства матрицы рассеяния систем без потерь: унитарность и взаимность.
10. Резонансы Фано в простейшем случае прозрачной системы минимальной размерности



$$|\text{out}(\mathbf{k}_{\parallel})\rangle = S_u(\omega, \mathbf{k}_{\parallel}) |\text{in}(\mathbf{k}_{\parallel})\rangle$$

$S_u(\omega, \mathbf{k}_{\parallel})$ - **Матрица рассеяния, S-матрица**

от T к S

$$S = \begin{pmatrix} S_{11} & S_{12} \\ S_{21} & S_{22} \end{pmatrix}, \quad T = \begin{pmatrix} T_{11} & T_{12} \\ T_{21} & T_{22} \end{pmatrix}$$

$$U^- = S_{11}U^+ + S_{12}D^-$$

$$D^+ = S_{21}U^+ + S_{22}D^-$$

$$D^+ = T_{11}U^+ + T_{12}U^-$$

$$D^- = T_{21}U^+ + T_{22}U^-$$

$$U^- = -T_{22}^{-1}T_{21}U^+ + T_{22}^{-1}D^-$$

$$D^+ = (T_{11} - T_{12}T_{22}^{-1}T_{21})U^+ + T_{12}T_{22}^{-1}D^-$$

$$S = \begin{pmatrix} -T_{22}^{-1}T_{21} & T_{22}^{-1} \\ T_{11} - T_{12}T_{22}^{-1}T_{21} & T_{12}T_{22}^{-1} \end{pmatrix}$$

Задачи

2.29.1: вывести соотношения между компонентами матриц переноса и рассеяния, считая их прямоугольными матрицами произвольного размера

2.29.2: Предположим, что система состоит из двух подсистем с матрицами переноса T_1 (сверху в суммарной системе), T_2 (снизу) и матрицами рассеяния S_1 и S_2 . Вывести формулы для матриц переноса и рассеяния всей системы.

2.29.3: Как модифицировать написанные до этого момента формулы для оптических коэффициентов структуры на полубесконечной подложке с диэлектрической проницаемостью, отличающейся от диэлектрической проницаемости?

2.29.4: Исследовать оптические спектры всех рассмотренных структур при добавлении потерь (мнимых добавок к диэлектрическим проницаемостям материалов). Также использовать расчет спектра поглощения для проверки правильности своих вычислений в случае структур без потерь (с действительными диэлектрическими проницаемостями).

2.29.5: Исследовать оптические спектры микрорезонатора без горизонтальной плоскости зеркальной симметрии.

$$r_{uu} = -\frac{T_{21}}{T_{22}}$$

$$t_{ud} = \frac{1}{T_{22}}$$

$$t_{du} = \frac{\det T_{\text{tot}}}{T_{22}}$$

$$r_{dd} = \frac{T_{12}}{T_{22}}$$

$$S = \begin{pmatrix} -T_{22}^{-1}T_{21} & T_{22}^{-1} \\ T_{11} - T_{12}T_{22}^{-1}T_{21} & T_{12}T_{22}^{-1} \end{pmatrix}$$

План лекции

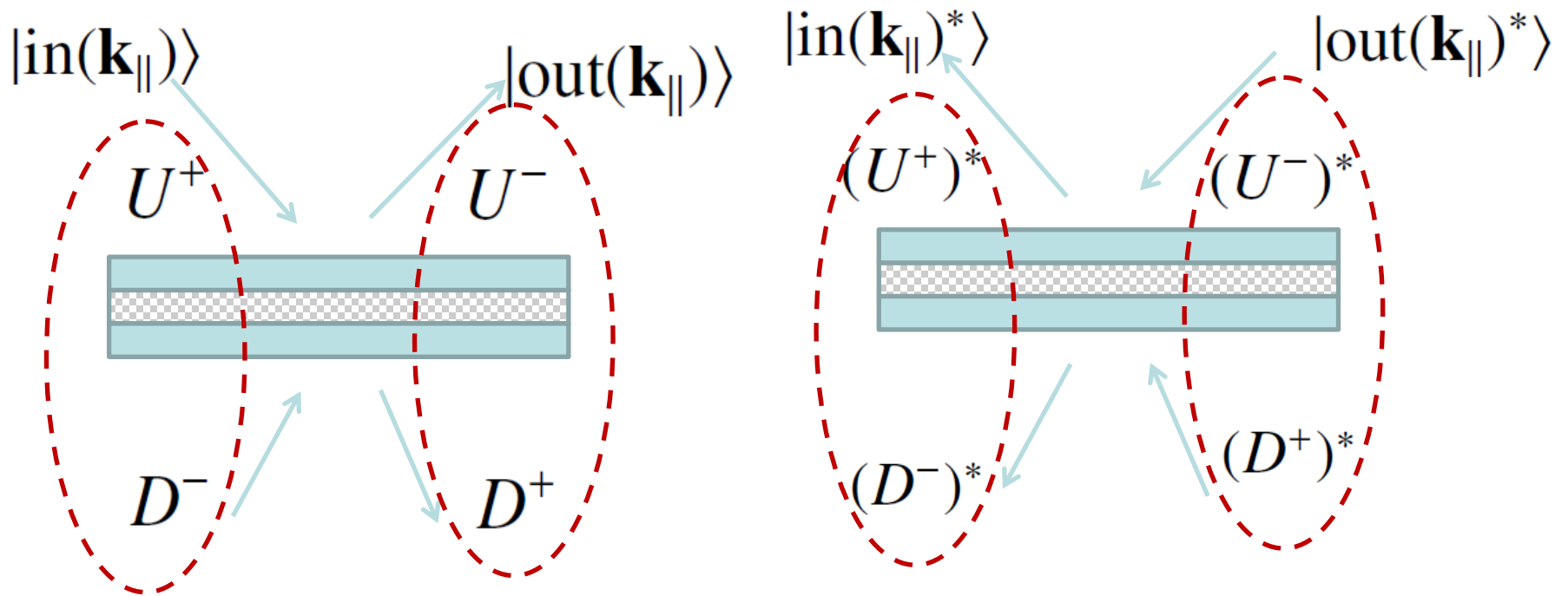
1. Уравнения Максвелла
2. Матрицы переноса для описания прохождения и отражения света от слоистой диэлектрической структуры
3. Пример 1. Диэлектрическое брэгговское зеркало
4. Пример 2. Брэгговский микрорезонатор
5. Пример 3. Брэгговский микрорезонатор и квантовой ямой в активной области
6. Матрица переноса для квантовых гетероструктур
7. Матрица рассеяния
- 8. Общие свойства матрицы рассеяния систем без потерь: унитарность и взаимность.**
9. Резонансное приближение для матрицы рассеяния
10. Резонансы Фано в простейшем случае прозрачной системы минимальной размерности

$$S_u^\dagger S_u = S_u S_u^\dagger = 1$$

S-матрица **унитарна** (если нет потерь)

$$\langle \psi | = |\psi\rangle^\dagger \equiv |\psi^*\rangle^T$$

стандартное определение
эрмитово-сопряженного
вектора



Взаимность, следствие инвариантности при обращении времени

$$|\text{in}\rangle \equiv |\text{in}(\omega, \mathbf{k}_{\parallel})\rangle = |\text{out}(\omega, -\mathbf{k}_{\parallel})^*\rangle \equiv |\widetilde{\text{out}}\rangle$$

$$|\text{out}(\mathbf{k}_{\parallel})\rangle = S_u(\omega, \mathbf{k}_{\parallel}) |\text{in}(\mathbf{k}_{\parallel})\rangle$$

$$|\text{out}(\mathbf{k}_{\parallel})^*\rangle = S_u^*(\mathbf{k}_{\parallel}) |\text{in}(\mathbf{k}_{\parallel})^*\rangle$$



ВЗАИМНОСТЬ

$$|\text{in}(-\mathbf{k}_{\parallel})\rangle = S_u^*(\mathbf{k}_{\parallel}) |\text{out}(-\mathbf{k}_{\parallel})\rangle$$

$$|\text{out}(-\mathbf{k}_{\parallel})\rangle = S_u^*(\mathbf{k}_{\parallel})^{-1} |\text{in}(-\mathbf{k}_{\parallel})\rangle$$

унитарность

$$S_u^*(\mathbf{k}_{\parallel})^{-1} = S_u(-\mathbf{k}_{\parallel})$$

+

$$S_u^{-1} = (S_u^*)^T$$

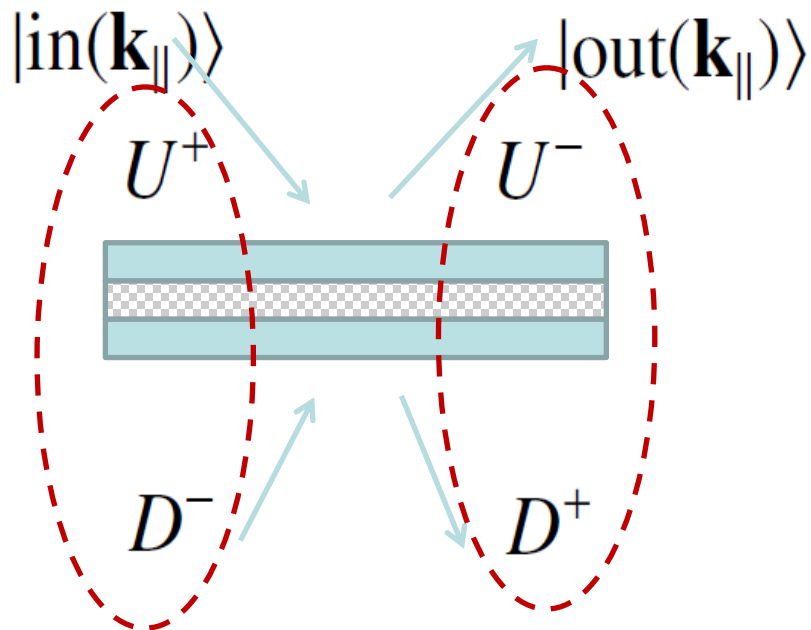


$$S_u(\omega, \mathbf{k}_{\parallel}) = S_u^T(\omega, -\mathbf{k}_{\parallel})$$

$$S = \begin{pmatrix} r_{uu} & t_{ud} \\ t_{du} & r_{dd} \end{pmatrix}$$

+

$$S_u(\omega, \mathbf{k}_{\parallel}) = S_u^{\top}(\omega, -\mathbf{k}_{\parallel})$$

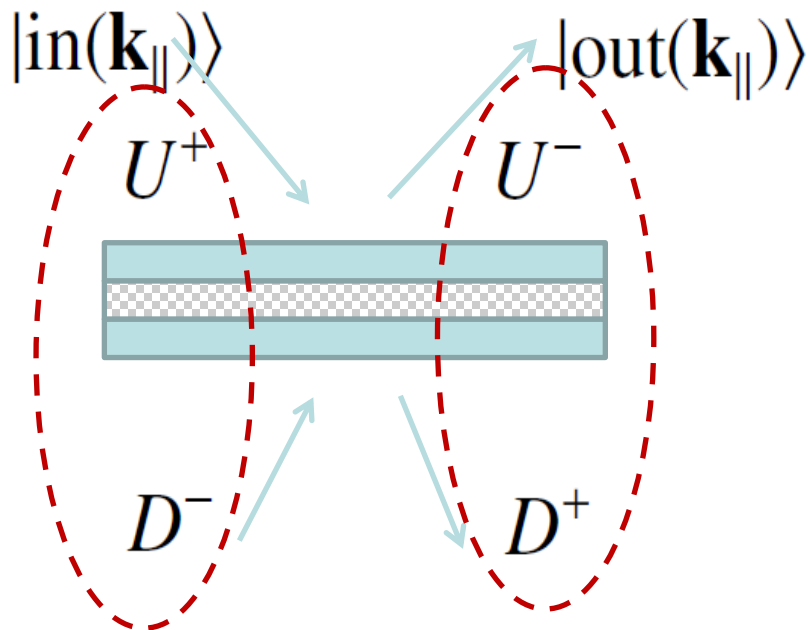


$$r_{uu}(\mathbf{k}_{\parallel}) = r_{uu}(-\mathbf{k}_{\parallel})$$

$$r_{dd}(\mathbf{k}_{\parallel}) = r_{dd}(-\mathbf{k}_{\parallel})$$

$$t_{du}(\mathbf{k}_{\parallel}) = t_{ud}(-\mathbf{k}_{\parallel})$$

Т.о. из взаимности следует, что отражение слева и справа одинаковы; пропускание в прямом направлении совпадает с пропусканием в обратном направлении (даже если система не имеет плоскостей зеркальной симметрии!)



$$r_{uu}(\mathbf{k}_{\parallel}) = r_{uu}(-\mathbf{k}_{\parallel})$$

$$r_{dd}(\mathbf{k}_{\parallel}) = r_{dd}(-\mathbf{k}_{\parallel})$$

$$t_{du}(\mathbf{k}_{\parallel}) = t_{ud}(-\mathbf{k}_{\parallel})$$

План лекции

1. Уравнения Максвелла
2. Матрицы переноса для описания прохождения и отражения света от слоистой диэлектрической структуры
3. Пример 1. Диэлектрическое брэгговское зеркало
4. Пример 2. Брэгговский микрорезонатор
5. Пример 3. Брэгговский микрорезонатор и квантовой ямой в активной области
6. Матрица переноса для квантовых гетероструктур
7. Матрица рассеяния
8. Общие свойства матрицы рассеяния систем без потерь: унитарность и взаимность.
- 9. Резонансное приближение для матрицы рассеяния**
10. Резонансы Фано в простейшем случае прозрачной системы минимальной размерности

Резонансное приближение для матрицы рассеяния

$$|\text{out}\rangle = S |\text{in}\rangle$$

Собственное состояние в кв. мех.: ненулевое решение свободного ур. Шредингера (отсутствие возбуждения извне).
В постановке задачи о рассеянии это надо понимать так:

$$|\text{in}\rangle = 0, \quad |\text{out}\rangle \neq 0$$

Однородное уравнение, которое нужно решить:

$$S^{-1} |\text{out}\rangle \equiv R |\text{out}\rangle = 0$$

Это уравнение на поиск собственной энергии $\omega_0 = \Omega_0 - i\Gamma_0$
и собственной функции в представлении рассеяния $|o_1\rangle$:

$$R(\omega_0) |o_1\rangle = 0$$

$$R(\omega_0) |o_1\rangle = 0$$

Многомерный метод
линеаризации (Ньютона)

$$\omega_0 = \omega + \Delta$$

$$0 = R(\omega_0) |o_1\rangle = R(\omega) |o_1\rangle + \Delta R'(\omega) |o_1\rangle$$

$$R(\omega) |o_1\rangle = -\Delta R'(\omega) |o_1\rangle$$

$$A |o_1\rangle = \Delta |o_1\rangle$$

$$A \equiv -[R'(\omega)]^{-1} R(\omega)$$

$$A |o_1\rangle = \Delta |o_1\rangle$$

задача становится
линейной

$$A V = V D$$

$$V^{-1} A V = D$$

метод
диагонализации

$$V = (|o_1\rangle, |o_2\rangle) \quad D = \begin{pmatrix} \Delta_1 & 0 \\ 0 & \Delta_2 \end{pmatrix}, \quad |\Delta_1| < |\Delta_2|$$

$$\omega \Rightarrow \omega + \Delta_1$$

Стартуем с произвольного значения энергии и получаем значение, которое должно быть ближе к решению.

Итерации повторяются до тех пор, пока расстояние до полюса не станет

$$|\Delta_1| \rightarrow 0 \quad (|\Delta_1| < \varepsilon), \quad \omega \rightarrow \omega_0$$

малым:

Выше было показано (из унитарности S и симметрии при обращении времени), что

$$S_u(\omega, \mathbf{k}_{\parallel}) = S_u^T(\omega, -\mathbf{k}_{\parallel})$$

Самый общий вид разложения по базисным (собственным) функциям:

$$S_u = \sum_{j=1}^{2N} e^{i\beta_j} |\text{out}_j\rangle \langle \text{in}_j| = \sum_{j=1}^{2N} e^{i\beta_j} |\text{out}_j\rangle \langle \widetilde{\text{out}}_j|$$

где фазы рассеяния $\beta_j, j=1, \dots, 2N$ - функции $(\omega, \mathbf{k}_{\parallel})$

$$\bar{\beta}_j(\omega, \mathbf{k}_{\parallel}) = \beta_j(\omega, -\mathbf{k}_{\parallel})$$

План лекции

1. Уравнения Максвелла
2. Матрицы переноса для описания прохождения и отражения света от слоистой диэлектрической структуры
3. Пример 1. Диэлектрическое брэгговское зеркало
4. Пример 2. Брэгговский микрорезонатор
5. Пример 3. Брэгговский микрорезонатор и квантовой ямой в активной области
6. Матрица переноса для квантовых гетероструктур
7. Матрица рассеяния
8. Общие свойства матрицы рассеяния систем без потерь: унитарность и взаимность.
9. Резонансное приближение для матрицы рассеяния
10. Резонансы Фано в простейшем случае прозрачной системы минимальной размерности

Резонансное приближение для матрицы рассеяния

$$S^{-1}(\omega) \approx \left. \frac{\partial S^{-1}(\omega)}{\partial \omega} \right|_{\omega_0} X (\omega - \omega_0 - \Delta) X^{-1}$$

$$X = (|O_1\rangle, |O_2\rangle, \dots), \quad Y = \left(\left. \frac{\partial S^{-1}}{\partial \omega} \right|_{\omega_0} X \right)^{-1} = \begin{pmatrix} \langle I_1 | \\ \langle I_2 | \\ \vdots \end{pmatrix}$$

Обобщенная формула Брайта-Вигнера:

$$S \approx X [(\omega - \omega_0)\mathbb{I} - \Delta]^{-1} Y = \tilde{S} + \sum_{n=1}^N |O_n\rangle \frac{1}{\omega - \omega_n} \langle I_n|$$

N. A. Gippius, S. G. Tikhodeev, and T. Ishihara, Phys. Rev. B **72**, 45138 (2005).

Если S-матрица имеет размерность (2x2),
ситуация упрощается:

$$|o_1\rangle = \begin{pmatrix} \sin \xi \\ \cos \xi \end{pmatrix}, \quad |o_2\rangle = \begin{pmatrix} \cos \xi \\ -\sin \xi \end{pmatrix}$$

$$S_u(\omega, \mathbf{k}_{\parallel}) = \begin{pmatrix} \cos \xi \\ -\sin \xi \end{pmatrix} (\cos \tilde{\xi}, -\sin \tilde{\xi}) e^{i\beta} \\ + \begin{pmatrix} \sin \xi \\ \cos \xi \end{pmatrix} (\sin \tilde{\xi}, \cos \tilde{\xi}) \eta(\omega, \mathbf{k}_{\parallel})$$

где резонансная фаза рассеяния:

$$\eta(\omega, \mathbf{k}_{\parallel}) \equiv e^{i\beta_1} = -\frac{\omega - \omega_0^*(\mathbf{k}_{\parallel})}{\omega - \omega_0(\mathbf{k}_{\parallel})} = \frac{2i\gamma_0(\mathbf{k}_{\parallel})}{\omega - \omega_0(\mathbf{k}_{\parallel})} - 1$$

$$r(\omega, \mathbf{k}_{\parallel}) = e^{i\beta} \cos \xi \cos \tilde{\xi} + \eta(\omega, \mathbf{k}_{\parallel}) \sin \xi \sin \tilde{\xi}$$

$$t(\omega, \mathbf{k}_{\parallel}) = -e^{i\beta} \sin \xi \cos \tilde{\xi} + \eta(\omega, \mathbf{k}_{\parallel}) \cos \xi \sin \tilde{\xi}.$$

Для нормального падения в любой взаимной системе и в системе с вертикальной плоскостью зеркальной симметрии

$$r(\omega, \mathbf{k}_{\parallel}) = e^{i\beta} \cos^2 \xi + \eta(\omega, \mathbf{k}_{\parallel}) \sin^2 \xi$$

$$t(\omega, \mathbf{k}_{\parallel}) = [\eta(\omega, \mathbf{k}_{\parallel}) - e^{i\beta}] \cos \xi \sin \xi$$

$$t(\omega, \mathbf{k}_{\parallel}) = [\eta(\omega, \mathbf{k}_{\parallel}) - e^{i\beta}] \cos \xi \sin \xi$$

Следствия: $\eta(\omega, \mathbf{k}_{\parallel}) = -\frac{\omega - \omega_0^*(\mathbf{k}_{\parallel})}{\omega - \omega_0(\mathbf{k}_{\parallel})}$

1. Полное пропускание, $|t|=1$, возможно только если одновременно $\eta(\omega) = -e^{i\beta}$ и $\xi = \pi/4$. Последнее означает симметрию между рассеянием сверху и снизу (если имеется горизонтальная плоскость зерк. симм.).
2. Полное пропускание $|t|=1$ имеет место точно на резонансе, если $\beta = \pi$ и $\xi = \pi/4$. Такое случается, например, в симметричной квантовой яме между барьерами, или в симм. Брэгговском микрорезонаторе (в оптике)
3. Минимальное пропускание $t=0$ (или полное отражение $|r|=1$) может иметь место возле резонанса, где η изменяется от -1 ниже резонанса через 1 на резонансе назад к -1 выше резонанса



Резонансные состояния в нанооптике

Лекция 3



- Введение
- Оптические матрицы переноса и рассеяния для решения уравнений Максвелла в слоистых диэлектрических структурах. Падение света по нормали
- Брэгговские зеркало и микрорезонатор, экситонный плазмон-поляритон в брэгговском микрорезонаторе с квантовой ямой в активной области. Полное разложение для матрицы рассеяния брэгговского микрорезонатора
- **Оптические матрицы переноса и рассеяния для решения уравнений Максвелла в слоистых диэлектрических структурах. Наклонное падение света**
- Угловая дисперсия резонансных мод микрорезонатора. Нижняя и верхняя поляритонные ветви
- Поверхностный плазмон-поляритон. Резонансы Ми
- Планарные диэлектрические волноводы
- Диэлектрические фотонные кристаллы, фотонные запрещенные зоны
- Фотонно-кристаллические слои, метаматериалы и метаповерхности
- Поляритонные кристаллы на примере плазмон-волноводного резонанса в структуре решетка металлических нанонитей на планарном диэлектрическом волноводе
- Метод Фурье-разложения по плоским волнам для решения уравнений Максвелла в структурах, содержащих фотонно-кристаллические слои. Оптические матрицы переноса и рассеяния для фотонно-кристаллических слоев и метаповерхностей
- Метаматериалы для создания сред Веселаго. Метаматериалы и метаповерхности. Трансформационная оптика
- Фотонно-кристаллические и плазмонные структуры для микрорезонаторов, световодов, нанолитографии
- Плазмонные наномантенны для оптического диапазона
- Эффективный электромагнитный отклик тонких слоев метаматериалов
- Поляризационные фильтры и компактные источники циркулярно-поляризованного света на основе хиральных фотонно-кристаллических слоев и метаповерхностей
- Оптические нелинейности на примере экситон-поляритона в брэгговском микрорезонаторе с квантовой ямой в активной области